

Smorzamento di onde di gravità

Come per molti oscillatori indotti dai solidi in moto, si può fare qualche valutazione sullo smorzamento nel caso di oscillazioni sulla superficie libera di un fluido, quali possono essere le onde di gravità, in presenza di viscosità.

Consideriamo il caso di onde di gravità di ampiezza a , lunghezza d'onda λ , pulsazione ω in prossimità del pelo libero di un fluido viscoso di profondità molto grande ($h \gg a, \lambda \Rightarrow$ come $h \rightarrow \infty$). Quello che per il corpo oscillante era la lunghezza caratteristica dell'oggetto è ora la lunghezza d'onda, e ci poniamo nella condizione

$$a \ll \lambda \quad (\text{equivalente al caso } \textcircled{2} \text{ del corpo oscillante})$$

per il quale possiamo dire che il moto è potenziale quasi ovunque, eccetto un sottile strato superficiale del fluido, in cui le derivate della velocità presenti nell'espressione degli sforzi tangenziali devono decrescere abbastanza rapidamente da arrivare a zero sulla superficie (b.c. sul pelo libero è sforzo tangenziale nullo), anche se non si ha necessità di gradienti forti come per il contatto con superfici solide (dove è proprio la $u_{ty} = \phi$).

La dissipazione di energia meccanica è, come già ricavato,

$$\frac{dE_{\text{mecc}}}{dt} = -\frac{1}{2} \eta \int \left(\frac{\partial v_i}{\partial x_j} + \frac{\partial v_j}{\partial x_i} \right)^2 d^3x$$

su tutto il volume del fluido; ma in realtà ci si può limitare alla regione di flusso potenziale, perché:

- ① la regione di flusso rotazionale è piccola (strato sottile)
 - ② nella regione rotazionale i gradienti non sono così forti
- } contributo limitato \Rightarrow trascurato

Per il flusso potenziale $\vec{v} = \text{grad} \phi \Rightarrow \frac{\partial v_i}{\partial x_j} = \frac{\partial}{\partial x_j} \frac{\partial \phi}{\partial x_i} = \frac{\partial}{\partial x_i} \frac{\partial \phi}{\partial x_j} = \frac{\partial v_j}{\partial x_i}$

$$\Rightarrow \frac{dE_{\text{mecc}}}{dt} = -\frac{1}{2} \eta \int \left(2 \frac{\partial v_i}{\partial x_j} \right)^2 d^3x = -2\eta \int \left(\frac{\partial^2 \phi}{\partial x_i \partial x_j} \right)^2 d^3x$$

e conosciamo anche la soluzione $\phi(x, z, t) = \phi_0 e^{kz} \cos(kx - \omega t + \phi)$;

$$\langle (\partial_i \partial_j \phi)^2 \rangle = \langle (\partial_x \partial_x \phi)^2 + (\partial_z \partial_z \phi)^2 + (\partial_x \partial_z \phi)^2 + (\partial_z \partial_x \phi)^2 \rangle =$$

$$= \langle k^4 \phi_0^2 e^{2kz} \cos^2(kx - \omega t + \phi) + k^4 \phi_0^2 e^{2kz} \cos^2(\dots) + k^4 \phi_0^2 e^{2kz} \sin^2(\dots) + k^4 \phi_0^2 e^{2kz} \sin^2(\dots) \rangle$$

$$\left(\langle \sin^2 \rangle = \langle \cos^2 \rangle = \frac{1}{2} \Rightarrow \right) = \langle k^4 \langle \phi^2 \rangle \rangle$$

$$\Rightarrow \left\langle \frac{d\bar{E}_{mecc}}{dt} \right\rangle = -8\gamma H^4 \int \langle \varphi^2 \rangle d^3x$$

dove abbiamo mediato sul periodo per vedere la dissipazione come trend di medio delle oscillazioni istantanee.

Per un sistema in regime di piccole oscillazioni, l'energia cinetica e potenziale hanno uguale valore medio sul periodo*; perciò è possibile calcolare l'energia meccanica media:

$$\begin{aligned} \langle \bar{E}_{mecc} \rangle &= 2 \langle \bar{E}_K \rangle = \rho \int \langle v^2 \rangle d^3x = \rho \int \langle \vec{v} \cdot \vec{v} \rangle d^3x = \rho \int \langle v_x^2 + v_z^2 \rangle d^3x = \\ &= \rho \int \left[\left\langle \left(\frac{\partial \varphi}{\partial x} \right)^2 \right\rangle + \left\langle \left(\frac{\partial \varphi}{\partial z} \right)^2 \right\rangle \right] d^3x = \rho \int \left[\langle H^2 \varphi_0^2 e^{2kz} \sin^2(\dots) \rangle + \langle H^2 \varphi_0^2 e^{2kz} \cos^2(\dots) \rangle \right] d^3x = \\ &= \rho \int H^2 \cdot 2 \langle \varphi^2 \rangle d^3x = 2\rho H^2 \int \langle \varphi^2 \rangle d^3x \end{aligned}$$

Dunque definendo $2\gamma = - \frac{\langle \dot{\bar{E}}_{mecc} \rangle}{\langle \bar{E}_{mecc} \rangle} = \frac{8\gamma H^4}{2\rho H^2} = 4\gamma H^2$

si ha $\langle \bar{E}_{mecc} \rangle = \langle \bar{E}_{mecc,0} \rangle e^{-2\gamma t}$ andamento di decrescita esponenziale dell'energia e poiché $\bar{E}_{mecc} \propto a^2$ l'ampiezza si muove con $a \sim e^{-\gamma t}$, ovvero con un coefficiente di smorzamento esponenziale $\left| \gamma = 2\nu H^2 = 2\nu \omega^4 / g^2 \right|$

con la rel. di dispersione per bacini profondi $\omega^2 = k g$

Si noti che in un pacchetto con onde di $\lambda \neq \lambda$, lo smorzamento è maggiore per grandi λ , cioè piccole λ (le onde lunghe si attenuano meno).

Nota: nel caso di bacino poco profondo lo smorzamento invece è dominato dall'attrito sul fondo; quindi per $\lambda \gg h$ si deve fare un calcolo che tenga conto dello strato limite e si trova $\gamma = \frac{1}{2h} (\omega \nu / 2)^{1/2}$.

Un esempio (drammatico) di onde con $\lambda \gg h$ è lo tsunami, con $\lambda \sim 10-100 \text{ km}$ (contro $h \sim 4-5 \text{ km}$ degli oceani) e una velocità di propagazione $v_g = \sqrt{gh} \sim 200 \text{ m/s}$ molto elevata, che combinata con la crescita di ampiezza delle onde nell'andare dal largo (10-100 cm) a riva (vari metri) corrisponde a flutto di energia (= danni) enorme. Con questi numeri $1/\gamma$ è molto grande, così che lo tsunami può fare il giro del globo più volte prima di spegnersi.

* = teorema generale della meccanica; si pensi a un semplice pendolo, è facile vedere come E_K e E_{pot} oscillino sfasate (una nulla quando l'altra è max) convertendosi completamente l'una nell'altra

Ekman layer

L'oceanoografo Fridtjof Nansen osservò, durante la sua spedizione nell'Artide verso fine '800, che gli iceberg non andavano alla deriva lungo la direzione del vento, ma con un angolo verso destra rispetto a tale direzione. Vogliam dire che il vento soffiava verso nord-ovest, ma l'iceberg si muoveva verso nord. Vogliam dire che il vento soffiava verso nord-ovest, ma l'iceberg si muoveva verso nord. Vogliam dire che il vento soffiava verso nord-ovest, ma l'iceberg si muoveva verso nord.

Il fenomeno si presenta sulla superficie libera degli oceani, a causa del vento (che oltre a poter stimolare fenomeni ondulatori, ovvero onde di superficie, può dar luogo a correnti superficiali nel caso in cui mantenga una direzione regolare); può anche occorrere nella parte bassa dell'atmosfera o al fondo di un oceano, quando il moto del fluido è vincolato da una superficie rigida. Consideriamo il primo tipo.

Dato la rotazione terrestre con frequenza angolare $\bar{\omega} = \omega \hat{e}_z$, e dato $\varphi \in [-\pi/2, \pi/2]$ l'angolo di latitudine, la forza di Coriolis per unità \vec{f}_c su di un fluido con velocità \vec{v}

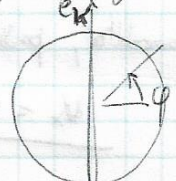
è $\vec{f}_c = 2\vec{v} \times \bar{\omega}$; calcolando la forza a una latitudine φ , e definendo

$f = 2\omega \sin \varphi$ parametro di Coriolis, \Rightarrow

$$f_x = +f v_y$$

$$f_y = -f v_x$$

(con x, y nel piano orizzontale locale, cioè superficie marina, e z verticale)



Se linearizziamo le equazioni di bilancio del momento (che significa scrivere l'eq. di Navier-Stokes, includendo Coriolis, e trascurando il termine convettivo $(\vec{v} \cdot \text{grad})\vec{v}$ non lineare), abbiamo

$$\begin{cases} \frac{\partial v_x}{\partial t} = f v_y - \frac{1}{\rho} \frac{\partial p}{\partial x} + \tilde{\nu} \frac{\partial^2 v_x}{\partial z^2} \\ \frac{\partial v_y}{\partial t} = -f v_x - \frac{1}{\rho} \frac{\partial p}{\partial y} + \tilde{\nu} \frac{\partial^2 v_y}{\partial z^2} \\ \rho \frac{\partial \phi}{\partial z} = -\frac{1}{\rho} \frac{\partial p}{\partial z} - g \end{cases}$$

(del resto stiamo trattando una corrente uniforme sul piano orizzontale, per cui $\vec{v} = f(z)$, $v_z = 0 \Rightarrow (\vec{v} \cdot \text{grad})\vec{v} = 0$, $\frac{\partial^2 \vec{v}}{\partial z^2} = \frac{\partial^2 \vec{v}}{\partial z^2}$)

e per il caso stazionario e in assenza di gradienti orizzontali di p si semplifica il sistema a

$$\begin{cases} \tilde{\nu} \frac{\partial^2 v_x}{\partial z^2} + f v_y = \phi \\ \tilde{\nu} \frac{\partial^2 v_y}{\partial z^2} - f v_x = \phi \end{cases}$$

Nota: con $\tilde{\nu}$ o $\tilde{\nu} = \rho \tilde{\nu}$ intendiamo che la viscosità non è la solita; in realtà il rimescolamento turbolento del fluido impone l'uso della cosiddetta "eddy viscosity", ovvero di una viscosità turbolenta molto maggiore; ciò comporta una spessore molto maggiore dell'Ekman layer, come vediamo tra poco.

Derivando due volte in z la prima eq. e poi eliminando v_y si ha

$$\frac{\partial^4 v_x}{\partial z^4} = -\left(\frac{f}{\tilde{\nu}}\right)^2 v_x$$

e definiamo $E \equiv \sqrt{\tilde{\nu} |f|} = \sqrt{\tilde{\nu} / \omega \sin(\varphi)}$; la soluzione generale è della forma

$$v_x \sim e^{\pm z/E} \text{ e } \pm iz/E$$

di cui si esclude $e^{-z/E}$ con la b.c. in $z \rightarrow \infty$ per limitatezza a grande profondità.

Se stabiliamo che la velocità superficiale ($z=0$) sia \bar{u}_0 e poniamo il s.d.r. $\parallel \bar{u}_0 \parallel \hat{e}_x$, per comodità, possiamo scrivere la soluzione nella forma

$$\underline{v_x = \bar{u}_0 e^{z/E} \cos(z/E)} \quad \text{che rientra in } \tilde{\nu} \partial_{zz}^2 v_x + f v_y = \phi \text{ da, con un po' di algebra,$$

$$f v_y = \frac{2\tilde{\nu} \bar{u}_0}{E^2} e^{z/E} \sin(z/E) \Rightarrow v_y = \frac{2\tilde{\nu}}{f} \frac{|f|}{2\tilde{\nu}} e^{z/E} \sin(z/E) = \frac{\sin(\varphi) \bar{u}_0}{\sin\varphi} e^{z/E} \sin(z/E)$$

La soluzione

$$\begin{cases} v_x = \bar{u}_0 e^{z/E} \cos(z/E) \\ v_y = \frac{\sin|\varphi|}{\sin\varphi} \bar{u}_0 e^{z/E} \sin(z/E) \end{cases}$$

ha perciò attenuazione sulla scala E e inoltre il vettore \vec{v} ha un angolo ϑ rispetto a \hat{e}_x

$$\tan \vartheta = \frac{v_y}{v_x} = \frac{\sin|\varphi|}{\sin\varphi} \tan(z/E) \quad \text{che dipende dalla profondità: } \vartheta = \pm z/E$$

e con segno che dipende dall'emisfero nord o sud!

Il vettore velocità ruota e decresce in ampiezza andando dalla superficie verso la profondità dell'oceano, annullandosi su una scala spaziale $\sim E$ ("Ekman spiral"). Si può definire una velocità media della corrente superficiale nello strato E come

$$\langle \vec{v} \rangle = \frac{1}{E} \int_{-E}^0 \vec{v} dz \approx \frac{1}{E} \int_{-\infty}^0 \vec{v} dz \quad (\vec{v} \rightarrow \phi \text{ per } z < -E);$$

in componenti,

$$\langle v_x \rangle = \frac{1}{E} \int_{-\phi}^{\phi} u_0 e^{z/E} \cos(z/E) dz = u_0 \left[\frac{1}{2} e^{z/E} (\sin(z/E) + \cos(z/E)) \right]_{-\phi}^{\phi} =$$

$$= u_0 \left[\frac{1}{2} \sin(\phi) + \cos(\phi) \right] = \frac{1}{2} u_0$$

$$\langle v_y \rangle = \frac{1}{E} \int_{-\phi}^{\phi} \frac{\sin|\phi|}{\sin\phi} u_0 e^{z/E} \sin(z/E) dz = \frac{\sin|\phi|}{\sin\phi} u_0 \left[\frac{1}{2} e^{z/E} (\sin(z/E) - \cos(z/E)) \right]_{-\phi}^{\phi} =$$

$$= -\frac{1}{2} \frac{\sin|\phi|}{\sin\phi} u_0$$

perciò $\langle \vec{v} \rangle$ ha un angolo θ' rispetto a \hat{e}_x

$$\tan \theta' = \frac{\langle v_y \rangle}{\langle v_x \rangle} = -\frac{\sin|\phi|}{\sin\phi} = \mp 1 \Rightarrow \theta' = \mp \pi/4 \text{ dipendentemente dall'emisfero}$$

Lo sforzo totale sulla superficie, imposto dal vento, è

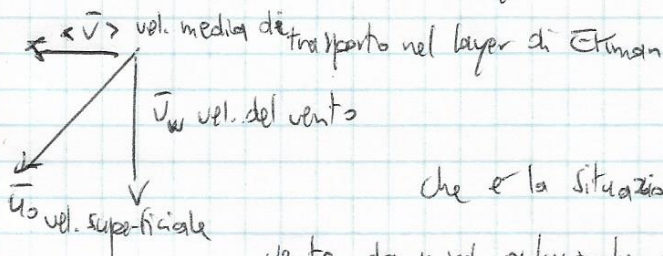
$$\sigma_{zx} = \tilde{\eta} \left(\frac{\partial v_x}{\partial z} \right) \Big|_{z=\phi} = \tilde{\eta} u_0 \left(\frac{1}{E} e^{z/E} \cos(z/E) - \frac{1}{E} e^{z/E} \sin(z/E) \right) \Big|_{z=\phi} = \tilde{\eta} u_0 / E$$

$$\sigma_{zy} = \tilde{\eta} \left(\frac{\partial v_y}{\partial z} \right) \Big|_{z=\phi} = \tilde{\eta} u_0 \frac{\sin|\phi|}{\sin\phi} \left(\frac{1}{E} e^{z/E} \sin(z/E) + \frac{1}{E} e^{z/E} \cos(z/E) \right) \Big|_{z=\phi} = \tilde{\eta} u_0 / E \frac{\sin|\phi|}{\sin\phi}$$

da cui similmente a prima si ricava l'angolo θ_w del vento rispetto a \hat{e}_x direzione della velocità superficiale \vec{u}_0

$$\tan \theta_w = \frac{\sigma_{zy}}{\sigma_{zx}} = \frac{\sin|\phi|}{\sin\phi} = \pm 1 \Rightarrow \theta_w = \pm \pi/4 \text{ dipendentemente dall'emisfero}$$

Per esempio nell'emisfero boreale si avrebbe quindi una situazione come in figura, supponendo vento da nord:



che è la situazione della costa californiana, con

vento da nord ~ lungo la costa, e $\Rightarrow \langle \vec{v} \rangle$ trasportata acqua

più calda superficiale verso il largo, con affioramento di strati più freddo da sotto e due conseguenze:

- (1) nebbia, (2) barriera profonda portata su favorisce una ricca fauna (pesce e uccelli pescatori).